

## 舗装用アスファルトの低温特性に関する実験

建設省土木研究所 正○新田弘之 昭和シェル石油（株） 正 遠西智次  
 同上 正 佐々木巖 ニチレキ（株） 田中正義  
 同上 正 坂本浩行

## 1.はじめに

舗装用アスファルトは、低温時においてはひび割れが問題となる。現在、低温性状の評価にはフーラス脆化点試験が行われているが、これは一定の条件下で割れができる温度を測定するものであり、曲げ速度や試料厚さなどに依存することや脆化点以外のデータが得られない問題がある。このため、破断時のひずみ量や応力を測定する方法も検討されている<sup>1)</sup>。

本研究では、低温性状の測定には容易にひずみや応力を測定できるペソディングビーム試験機を利用して舗装用アスファルトの試験を行い、主にフーラス脆化点との関係を見ることとした。

## 2.試験

## 2.1 試験方法

本研究で行った試験および試験条件は、表-1の通りである。

表-1 試験条件

針入度	舗装試験法便覧に準拠
軟化点	舗装試験法便覧に準拠
フーラス脆化点	舗装試験法便覧に準拠
ペソディングビーム試験	-20～-10°C、荷重100g、試験片127×12.7×6.35mm
薄膜加熱試験	舗装試験法便覧に準拠
アラッシャーエージングセル試験	100°C、20時間、2.1MPa、標準空気ボンベで加圧

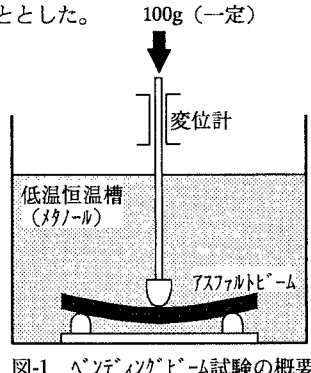


図-1 ペソディングビーム試験の概要

ペソディングビーム試験およびアラッシャーエージングセル試験は、米国SHRPで提案されている方法を参考にした<sup>2)</sup>。ペソディングビーム試験は、SHRPではアラッシャーエージングセル試験後のアスファルトについて行うようにしているが、本研究では他の性状と比較するためにオリジナルアスファルトを中心に試験を行った。ペソディングビーム試験は、図-1に示すようにビーム状に整形したアスファルトサンプルの中央を100gの一定荷重で載荷するクリープ試験であり、各数値は次のようにして求めた。

$$\text{ひずみ量 : } \gamma(t) = 4bh^3\delta(t)/L^3$$

ここで、b : ビーム幅

$$\text{応力 : } \sigma_0 = \text{Constant}$$

h : ビーム高さ

$$\text{スティフネス : } S(t) = \sigma_0 / \gamma(t)$$

L : スパン長さ

$$m \text{ 値 : } m(t) = |\text{dlog } S(t)/\text{dlog } t|$$

$\delta(t)$  : ビームのたわみ量

ここでm値は、粘弾性の傾向を表す値で、m値が大きいほど粘性的、小さいほど弾性的であると判断できる。

## 2.2 サンプル

本研究では、ストレートアスファルト8種類、セミプローソアスファルト2種類、改質アスファルト（セミプローソアスファルト以外）7種類の計17種類を用いて実験を行った。各種アスファルトの性状を表-2に示す。

## 3.結果

ペソディングビーム試験では、低温でも変位量が大きくとれ、フーラス脆化点以下の粘弾性状も容易に測定することができた。オリジナルアスファルトにおけるペソディングビーム試験の結果と、アスファルトの各試験結果と比較したところ、フーラス脆化点試験の結果と有意な関係が見られた。これを図-2,3に示す。ここではS値、m値とも-20°Cでの試

験開始60秒後の値を用いている。S値では、ストレートアスファルト、改質アスファルトともにある程度の関係が見られ、フーラス脆化点が低いものほどS値が小さい傾向を示した。また、m値ではS値ほど相関性が良くないもののフーラス脆化点が低いものほどm値が大きくなる傾向を示した。従ってS値が小さく、m値が大きいものほどフーラス脆化点が低く、低温で破壊しにくくいアスファルトだと考えられる。

フーラス脆化点において各アスファルトがどのような性状であるかを調べたところ図-4のようになった。フーラス脆化点は、等ステイフネス温度と考えられていたが、実際には図のようにステイフネスだけでなくm値にも関係していた。ストレートアスファルトと改質アスファルトはほぼ同じ直線上にのったが、ストレートアスファルトの方が低S値、高m値でフーラス脆化点を迎えていたことが分かった。また、セミプロローソンアスファルトはS値もm値も小さいところで破壊が起きており、他のアスファルトとは大きく異なる傾向を示した。

表-2 今回用いた舗装用アスファルトの性状

No.	種類	針入度 (1/10mm)	軟化点 (°C)	P.I.	フーラス脆化点 (°C)
1	ストレートアスファルト	40/60	52	-0.66	-9
2		60/80	73	-0.77	-14
3		60/80	60	-0.65	-11
4		60/80	65	-0.84	-11
5		60/80	70	-0.32	-16
6		80/100	75	-0.73	-15
7		150/200	196	0.73	-18
8		150/200	163	1.00	-18
9	セミプロローソンアスファルト	AC100	45	60.0	-16
10	セミプロローソンアスファルト	AC100	41	61.0	-13
11	改質アスファルト	I型	60	53.0	-0.03
12		II型	52	57.0	-0.9
13		II型	50	69.0	-14
14		II型	52	69.0	-17
15		排水性	65	89.0	-22
16	排水性	50	89.0	5.45	-16
17	排水性	52	83.0	4.83	-23

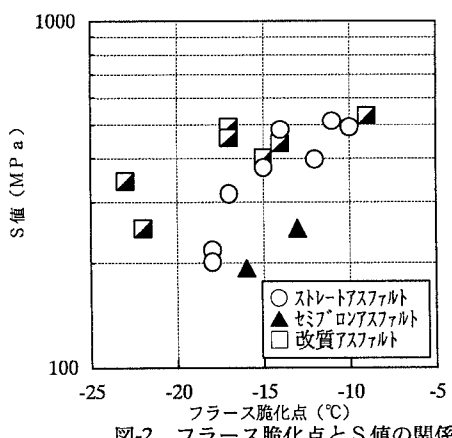


図-2 フラース脆化点とS値の関係

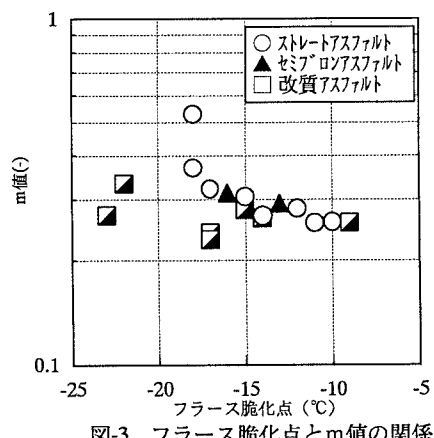


図-3 フラース脆化点とm値の関係

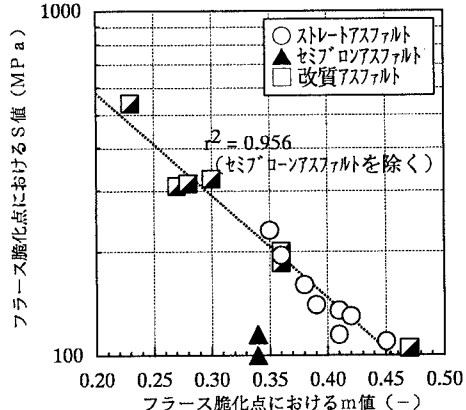


図-4 フラース脆化点におけるS値とm値の関係

#### 4.まとめ

以上をまとめると次のようになつた。

- 1) ベンディングビーム試験では、フーラス脆化点以下でも容易に粘弾性状を測定することができた。
- 2) 同じ系統のアスファルト内では、ステイフネスが小さくm値が大きいものほど破壊しにくくいアスファルトであると考えられる。
- 3) フラース脆化点には、ステイフネスだけではなくm値も関係していた。

#### 参考文献

- 1)森吉ら,石油学会誌, No.36(2),139-143(1993)
- 2)建設省土木研究所,土木研究所資料第3257号(1994)